

# Spring-8 BL38B1 の紹介

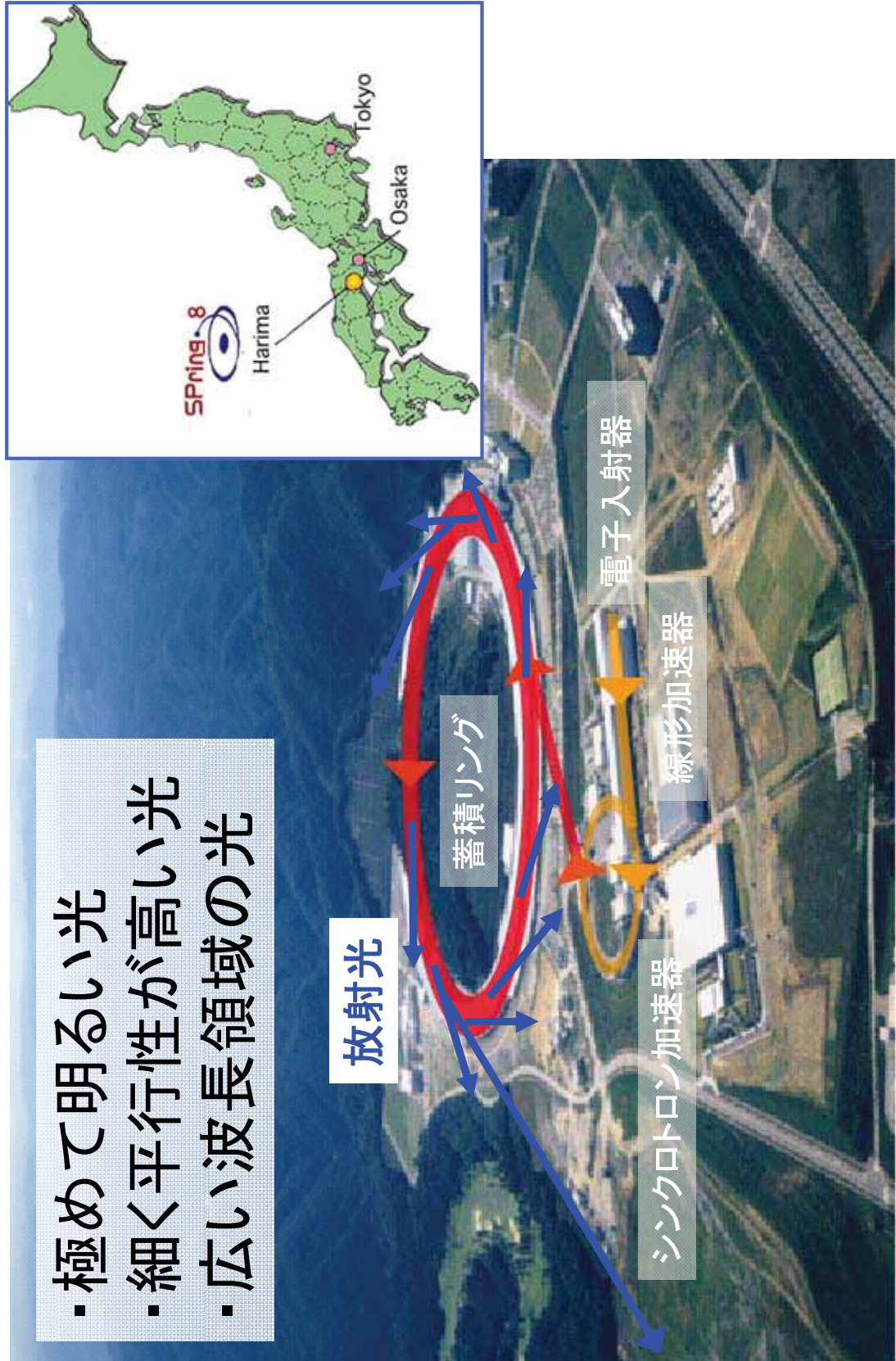
JASRI 馬場清喜

# 発表の流れ

- はじめに
- BL38B1の現状
- 高度化
- 低分子利用
- まとめ

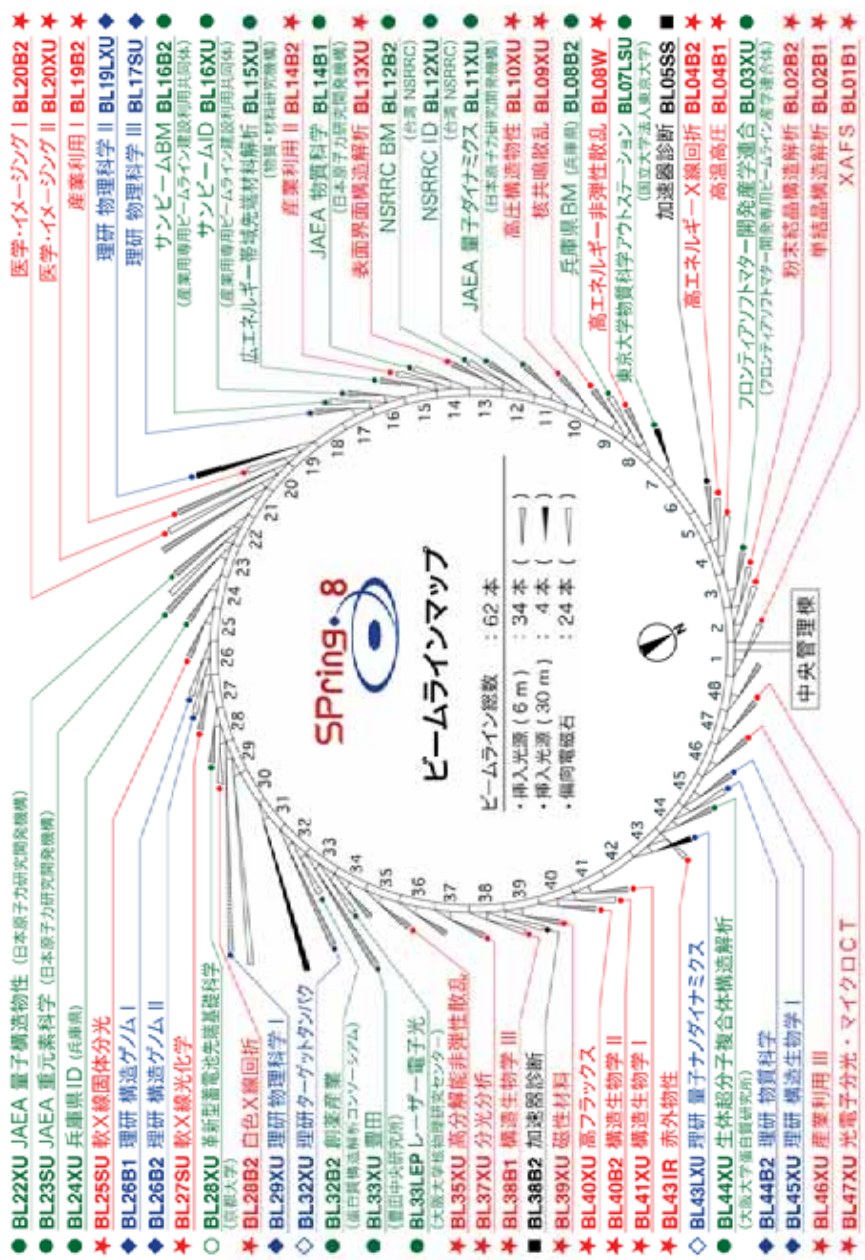
# SPRING-8の紹介

## Super Photon ring-8 GeV(80億電子ボルト)



# SPring-8 ビームライン

## ビームラインの利用種別



## ビーム診断

## 産業利用

## 化学

## 物理

## 地球科学

## 環境科学／分析

## 材料／ナノテクノロジー

## 蛋白質構造生物学 イメージング／医学・生物学

## ライフサイエンス

# 単結晶構造解析 ビームライン

- BL02B1(共用)
  - 無機、有機物質 単結晶構造解析
- BL26B1(理研)
  - 逆格子空間内の超格子構造の解析
- BL26B2(理研)
  - (磁気散乱、共鳴X線散乱、相転移観察)
- BL32XU(理研)
  - 高エネルギーX線を用いた回折実験
- BL38B1(共用)
  - タンパク質 結晶構造解析
- BL41XU(共用)
  - 粉末回折、
- BL32B2(創薬産業)
  - 創薬を目的とした
- BL44XU(阪大蛋白研)
  - タンパク質 結晶構造解析

タンパク質結晶構造解析ビームライン  
共通化された標準ユーザインターフェースを導入

### ルーチン測定

BL26B1 (理研)

BL26B2 (理研)

BL38B1 (共用)

### 高難易度測定

BL32XU (理研)

微小結晶

BL41XU (共用)

高精度データ測定

BL44XU (阪大)

巨大結晶格子対応

十分な回折強度の結晶  
測定自動化  
測定高速化

ベンディングマグネットBL

Flux  $8.0 \times 10^{10}$

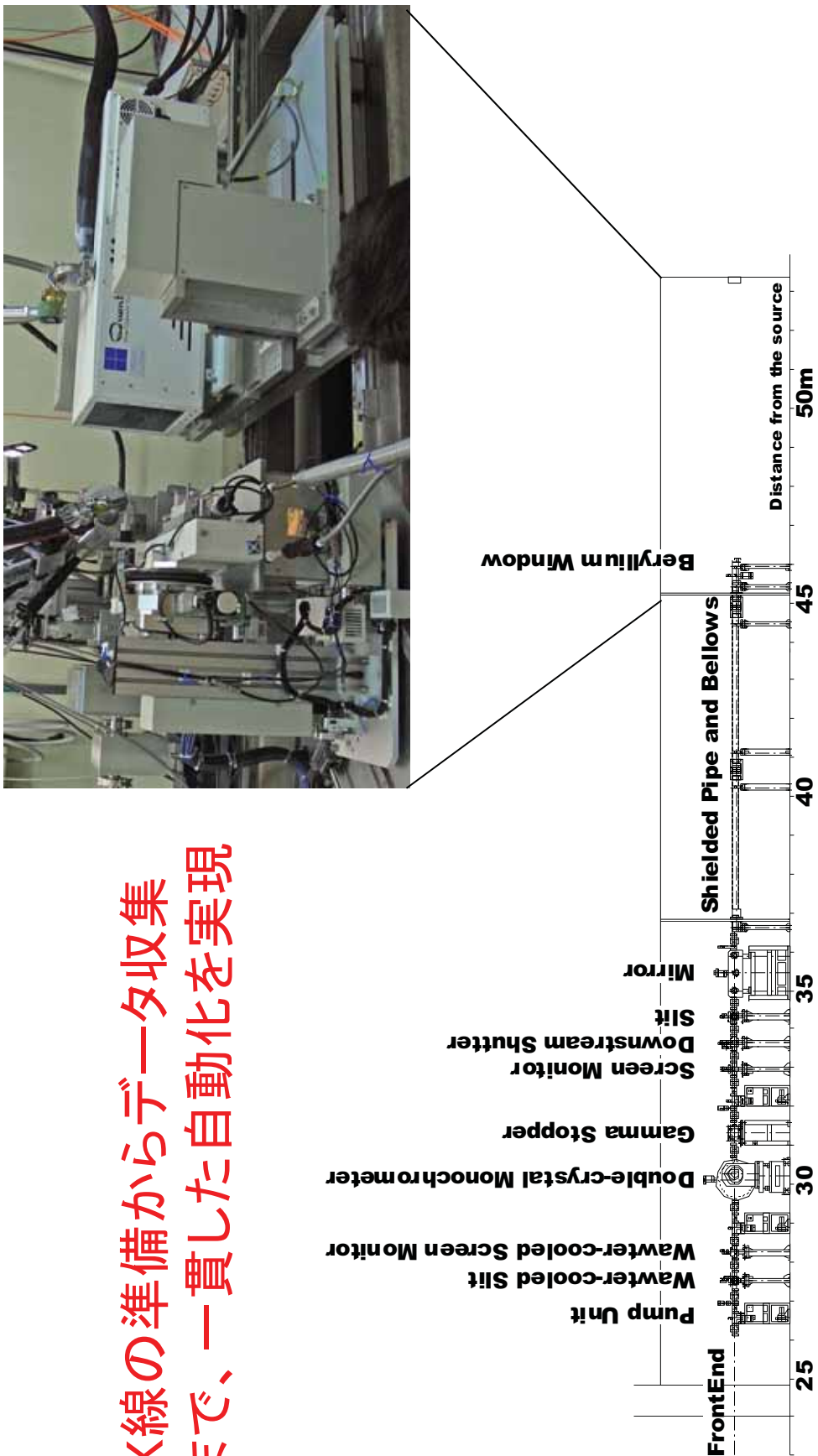
アンジュレータBL

Flux  $3.0 \times 10^{12}$

# BL38B1の現状

# BL38B1のレイアウト

標準光学系：偏光電磁石光源 + 標準2結晶分光器 + 集光ミラー  
試料交換の自動化：サンプルチエントジャ— SPACE の導入



# スペック

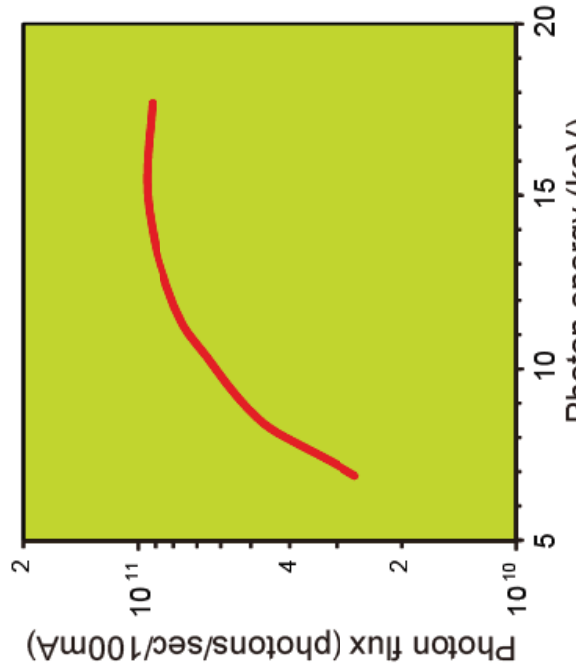
$\lambda: 1 \text{ \AA}$



Beam Size (F.W.H.M.)

$230 \times 180 \mu\text{m}^2$

Photon flux



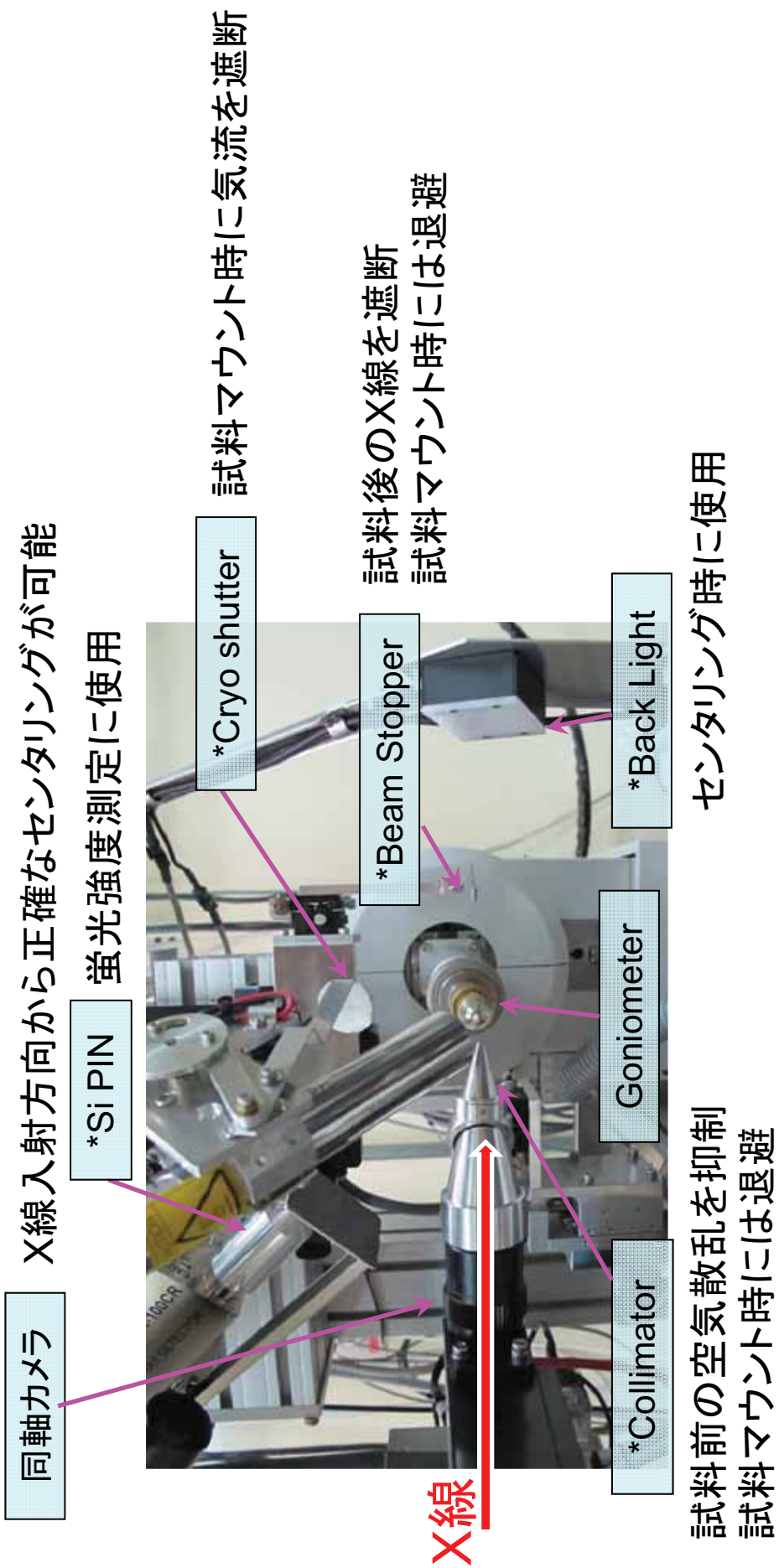
Photon flux  $\geq 10^{10}$  (photons/sec/100mA)



- エネルギー範囲 :  $6.5 \sim 17.7 \text{ keV}$  ( $0.7 \sim 1.9 \text{ \AA}$ )
- カメラ長範囲 :  $75 \sim 900 \text{ mm}$  (Q210)
- 測定可能な最大分解能 :  $0.75 \text{ \AA}$  (Q210)
- 振動角、振動範囲 :  $\geq 0.1^\circ$ , 制限無し
- 露光時間 :  $\geq 0.5 \text{ sec}$
- 低温吹付け装置の温度:  $\geq 90 \text{ K}$  ( $\text{N}_2$ )

# 試料周りのレイアウト

結晶セントリングや実験条件設定、実験スケジュールの管理機能などを一端末に統合し、制御している



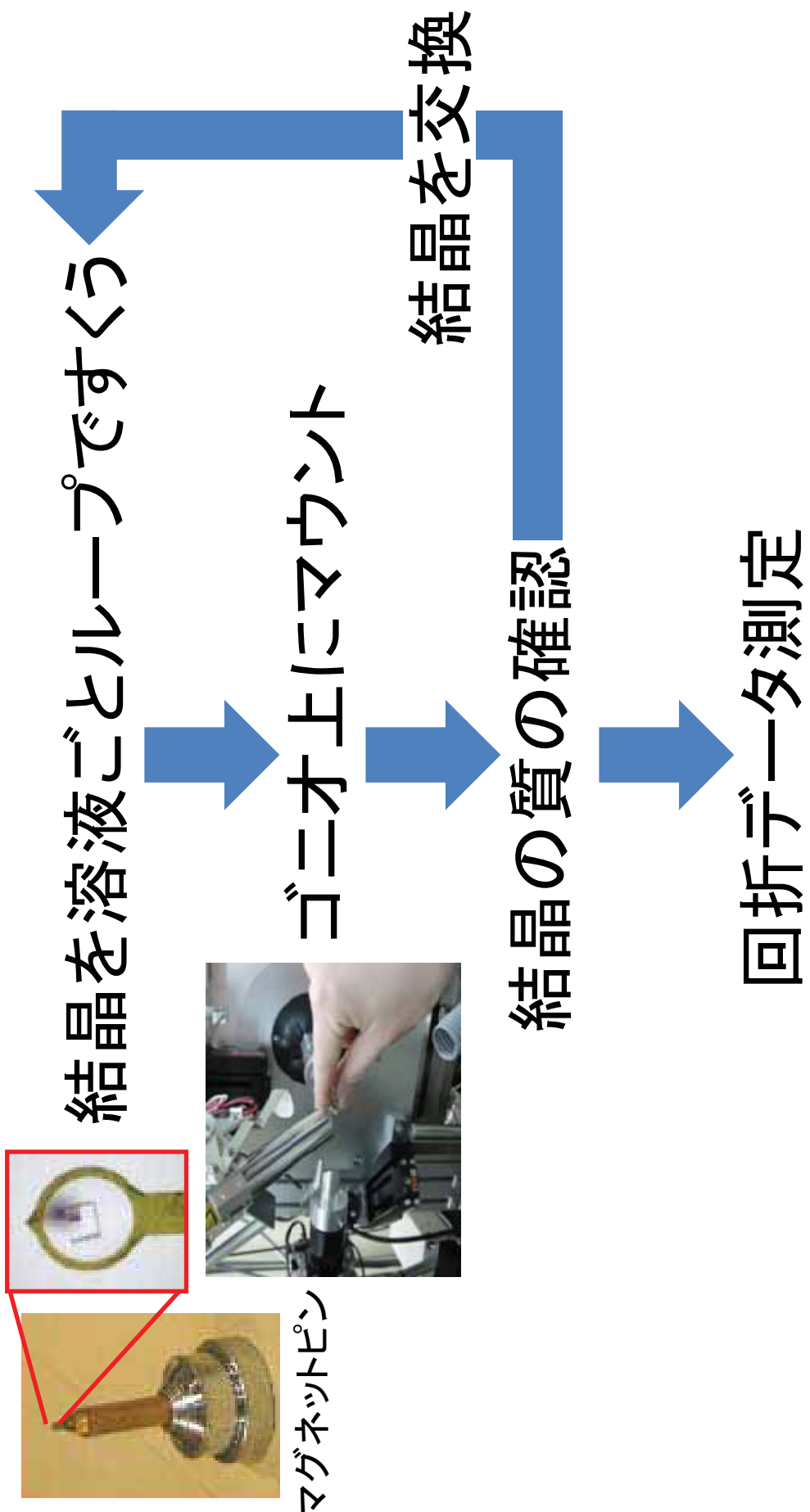
## タンパク質結晶の特徴

- ・分子サイズが非常に大きい（1万～数10万の分子量）
- ・溶媒を50%前後含んでおり、環境の変化に弱い
- ・結晶格子のサイズは数10～数100オノゲストローム程度
- ・非対称単位に複数の分子が含まれる場合もある
- ・大きな結晶を得にくい
- ・結晶性が悪く、分解能が得られない
- ・放射線損傷を受けやすく、低温での測定が必須



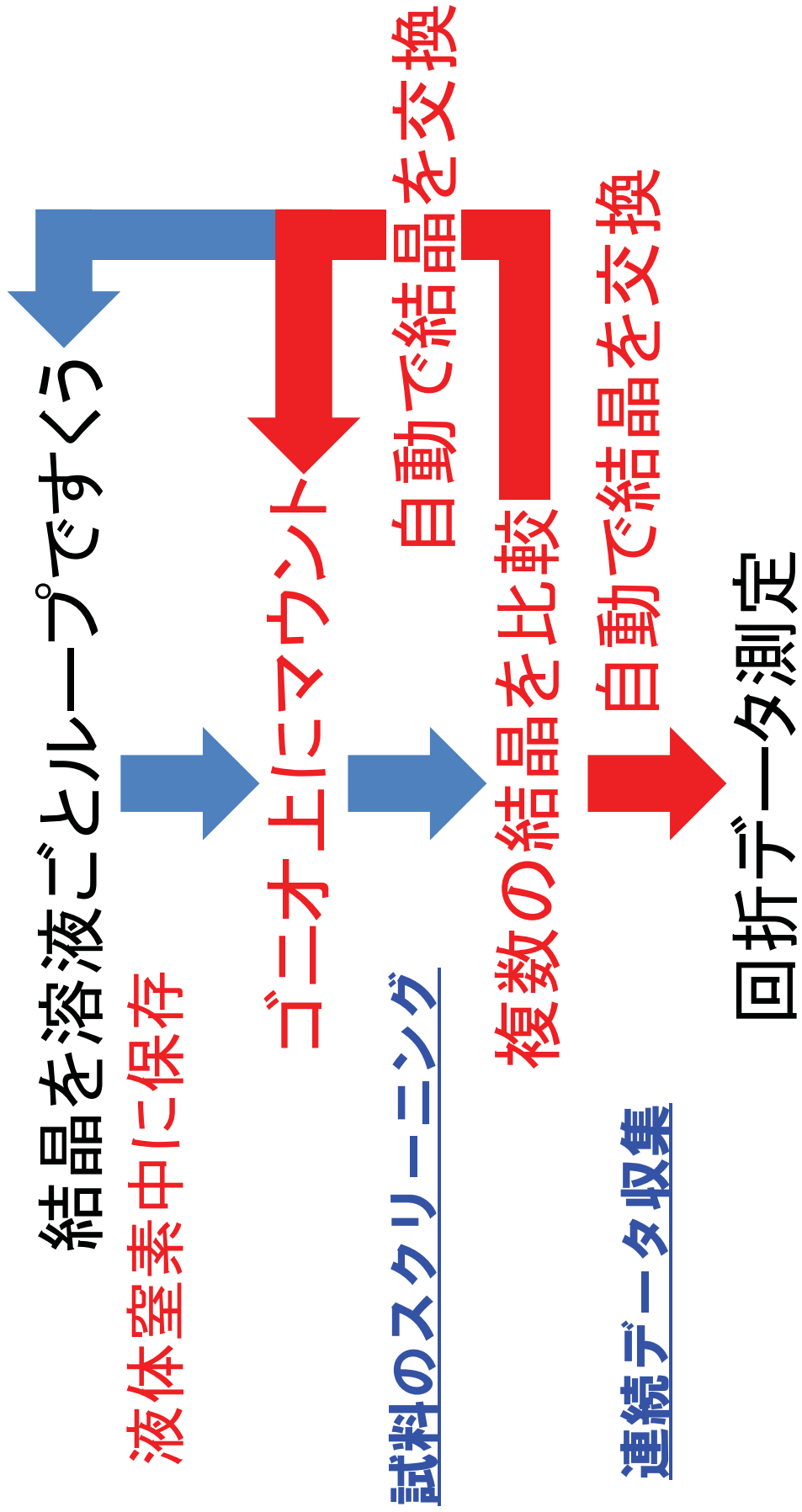
限られた時間の中で、複数の結晶の中から効率的に最も良の結晶を選択し、最高のデータを収集したい

# 手動で行うタンナパク質結晶の測定

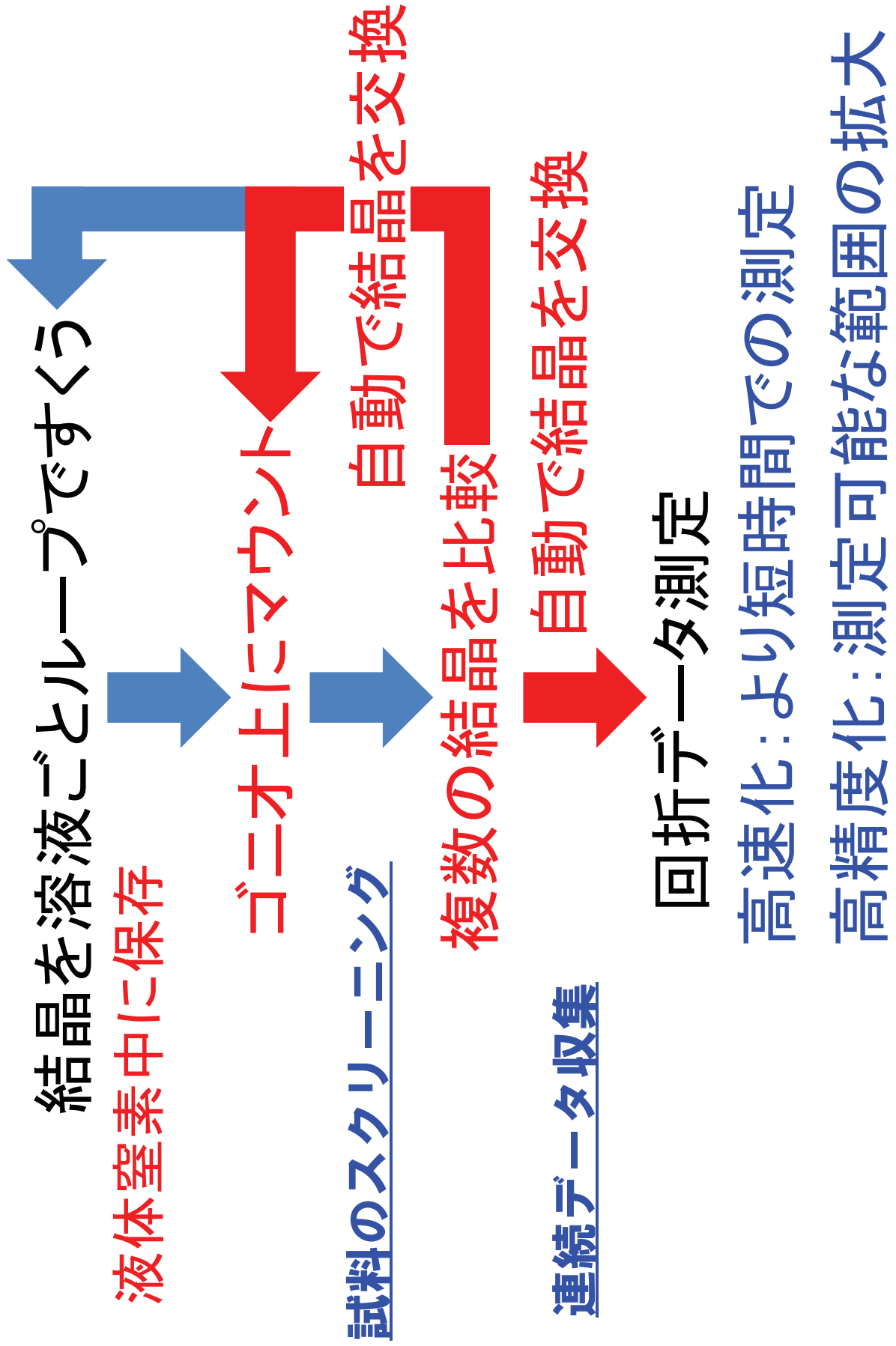


結晶の質の確認をするのに、10分以上必要

効率的に最良の結晶で最もデータを取得



効率的に最良の結晶で最もデータを取得



# 高度化

- ・効率的な測定のための自動化
- ・高速、高精度な測定を行うための改良

# 高度化

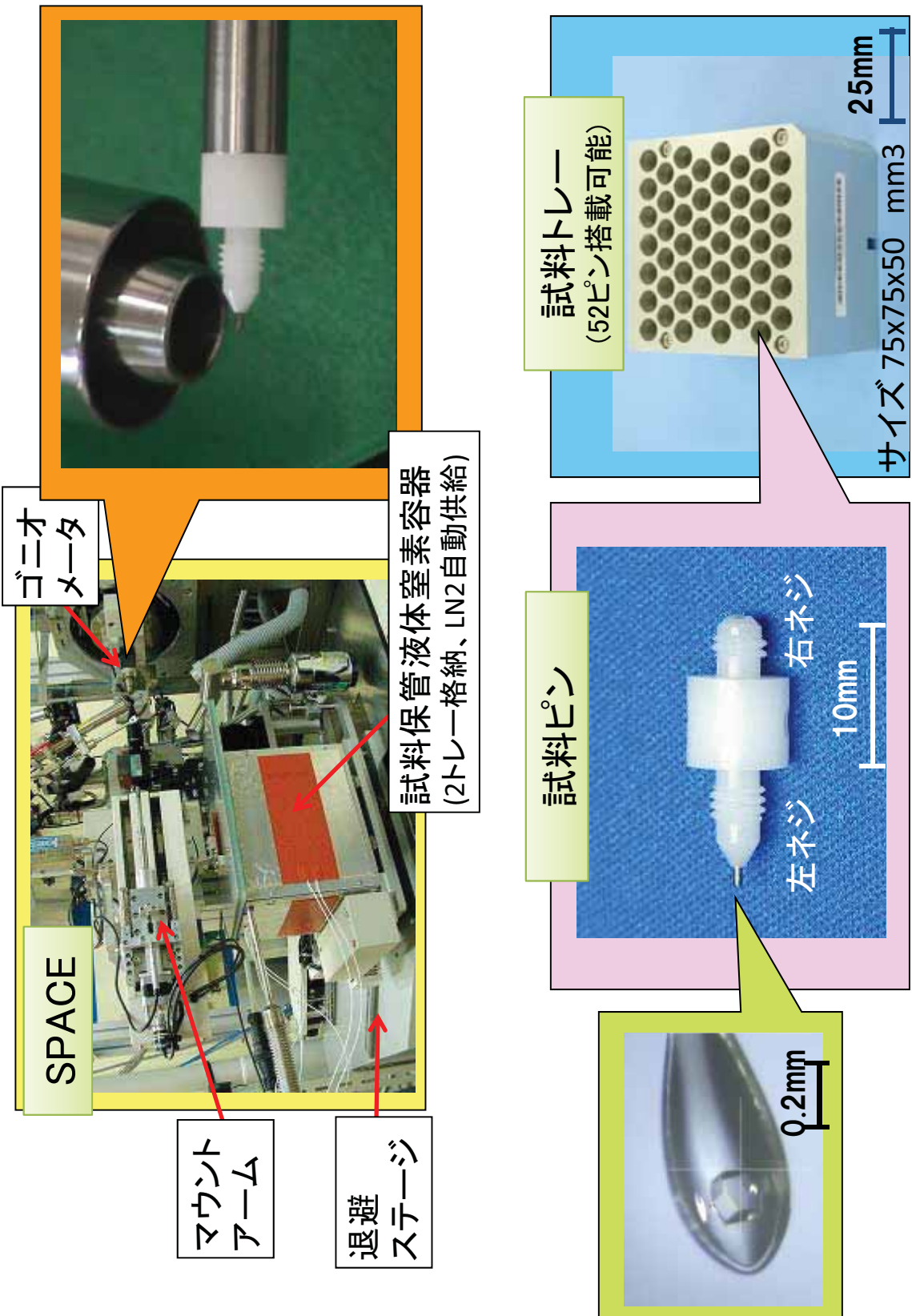
- 効率的な測定のための自動化
- 高速、高精度な測定を行うための改良

# 効率的な測定のための自動化 ロボットを用いた2モード運転による自動測定



# 測定の自動化そのためのロボット SPACE

## SPACE - SPRing-8 Precise Automatic Cryo-sample Exchanger

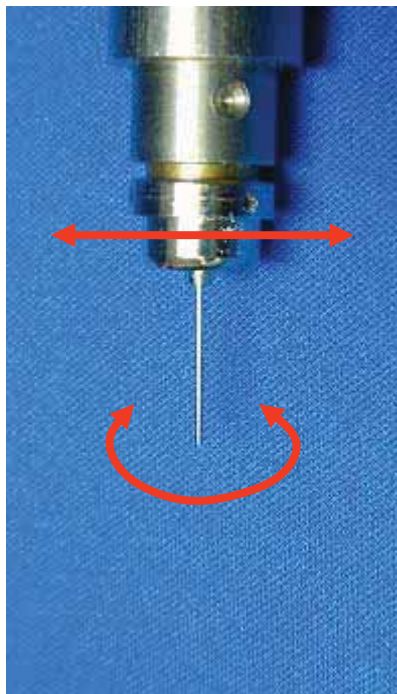


# SPACEピントの利点

## 試料マウント時の位置再現性が高い

回折チャック時にセシタリングした座標を記録する（12個 / 1時間）  
2回目からはセシタリング位置の再現が可能  
↓  
回折データ収集時の自動測定が可能

試料の位置や方向は、一意的に決まる



マグネットピント:  
位置再現性なし

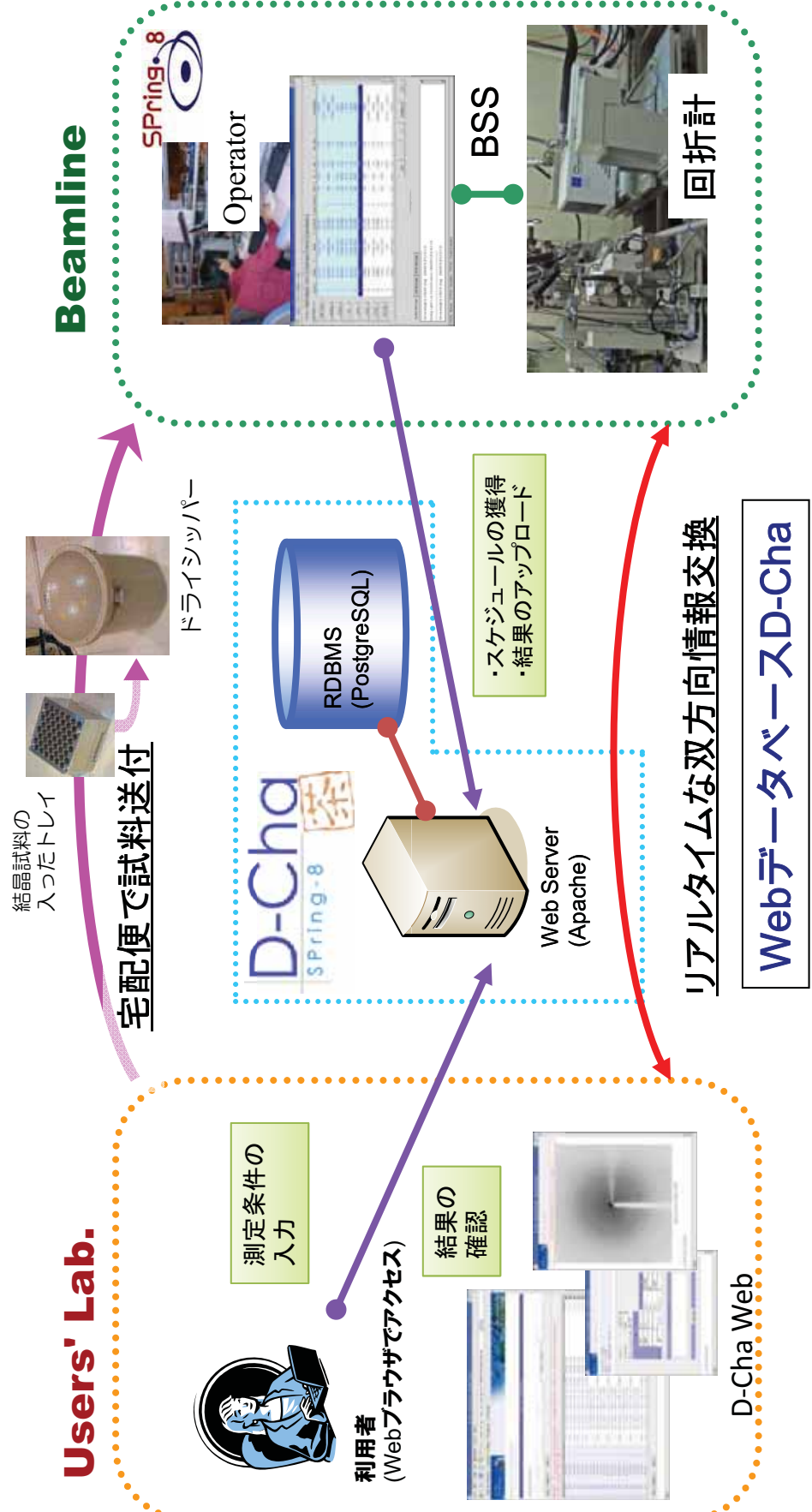
SPACEピント:  
高い位置再現性  $\sim 10\mu\text{m}$

- ・どちらのピントもSPACEで使用可能
- ・2mode運転はSPACEピントのみ

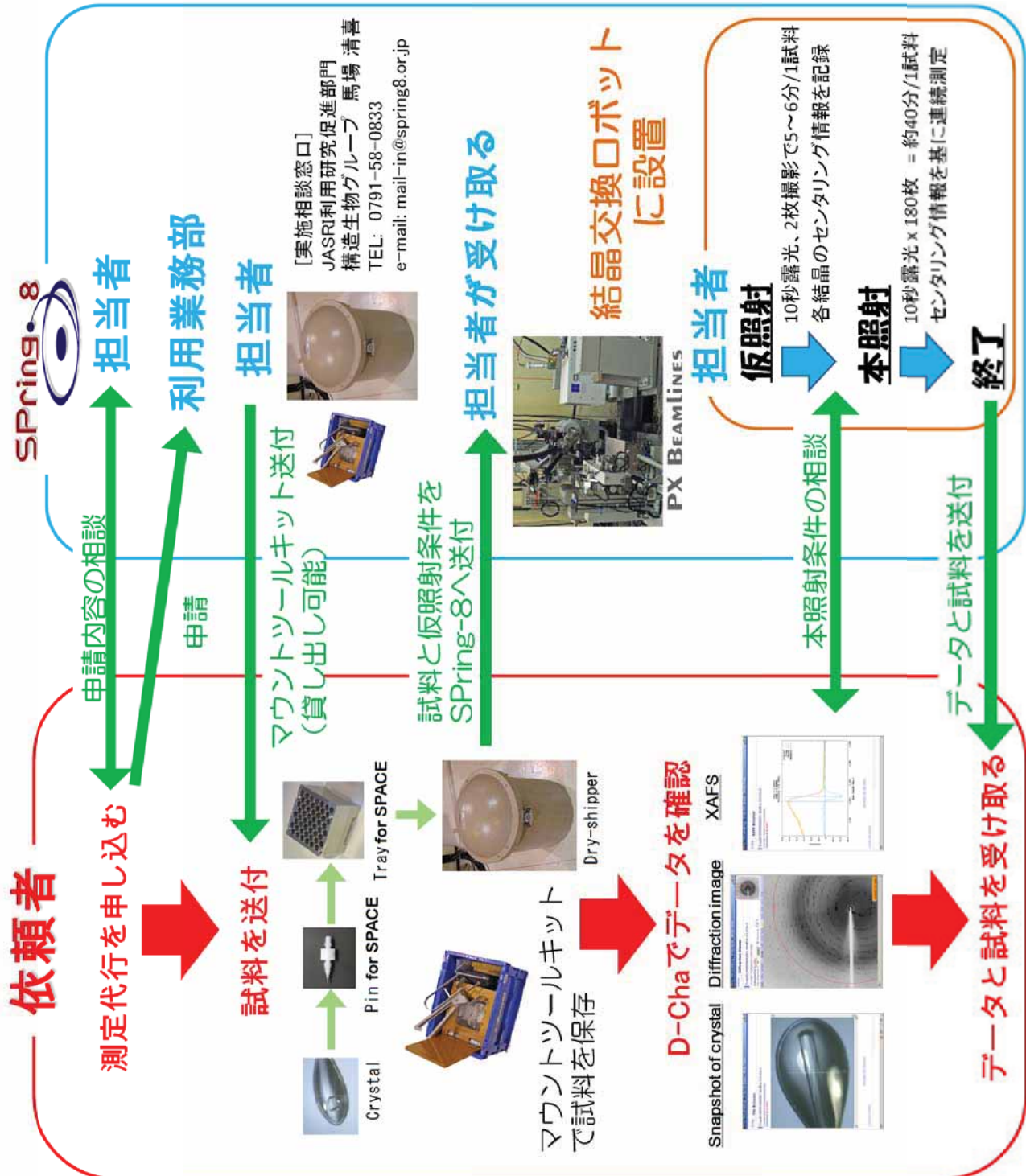
# メールインデータ測定システム

## 2 mode運転とBLオペレータ補助による遠隔回折データ収集

- 放射光施設にタンパク質結晶サンプルを送付
- Web経由による測定条件の登録・測定結果の入手



## SPRING-8ターンパク質結晶 測定代行の流れ 1回/月実施



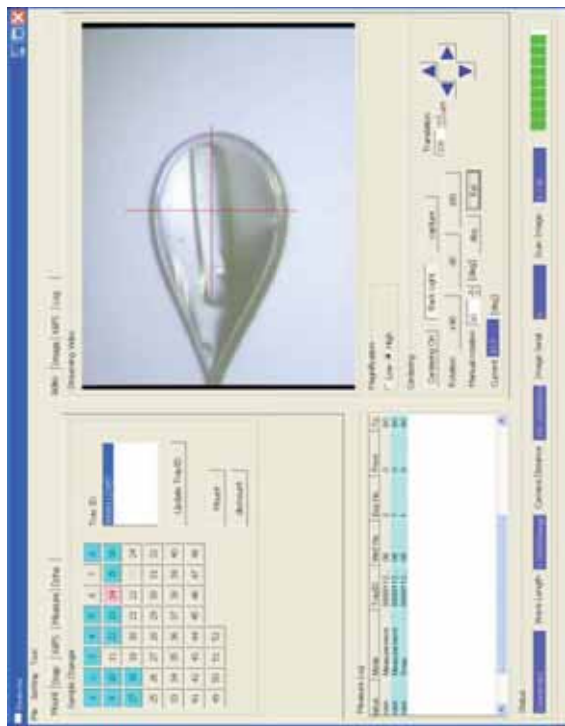
# リモートデータ測定システムの開発

## もうひとつの大発明データ測定システム

アドバンスユーザーにに対して、オペレーターを介しなし、よりリアルタイムな操作による遠隔地からのデータ測定

- 試料を熟知した研究者が、試料センタリングを行うことが可能

- 結晶スクリーニングやX線照射位置スクリーニングをリアルタイムで行い、最適な試料・X線照射位置・測定条件で回折データ測定を行うことが可能



# 高度化

- 効率的な測定のための自動化
- 高速、高精度な測定を行うための改良

# 高速、高精度な測定

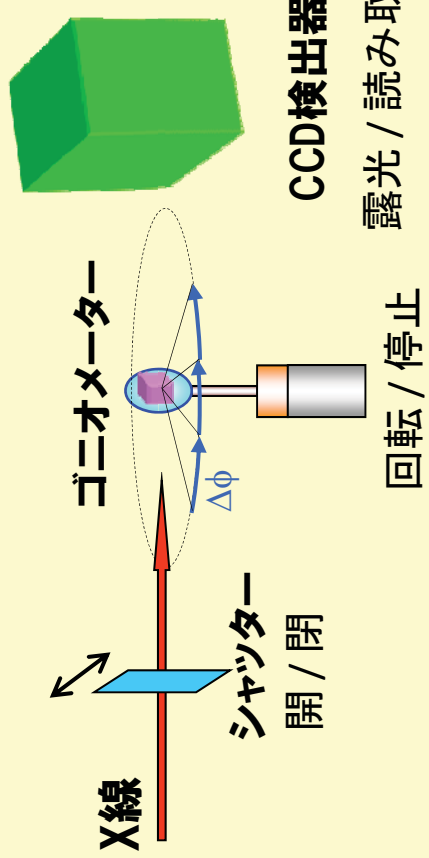
- 人的誤差
  - 結晶のマウント、センタリング、測定のセッティングビームラインを自動化することで解消
- メカニカルな誤差
  - 振動写真法における機器同士のタイミングの精度
  - 自動調整の精度
- ハッケグラウンドの低減
  - 空気散乱や、ビームストップバーの大きさ、位置

# 高精度な測定を行うための改良

シャッター、ゴニオメーターの同期精度の向上

より細かいOscillation angle、より短い露光時間で測定が可能

振動写真法による回折データ測定の模式図



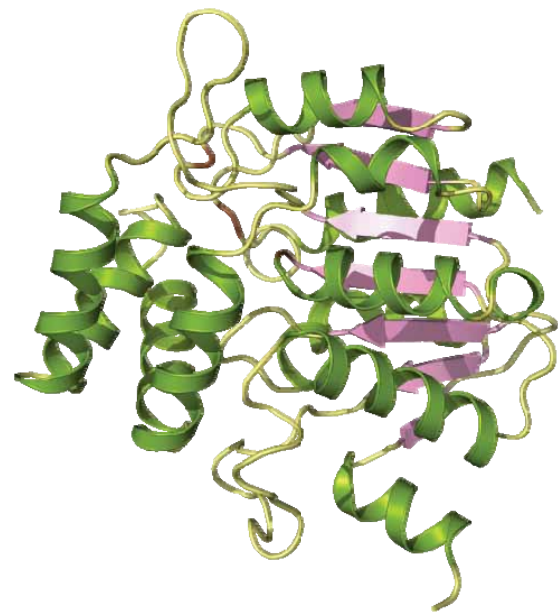
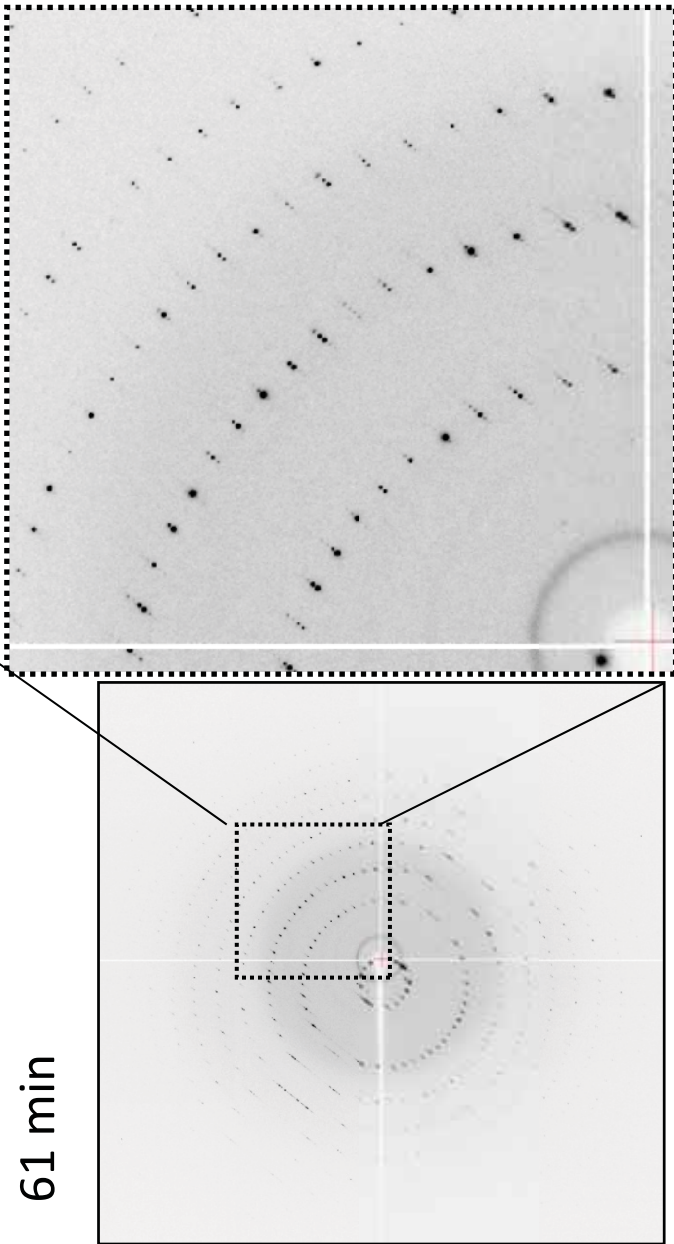
空気散乱の低減によるバックグラウンドの低下

より効率的に検出器のダイナミックレンジを利用した測定が可能

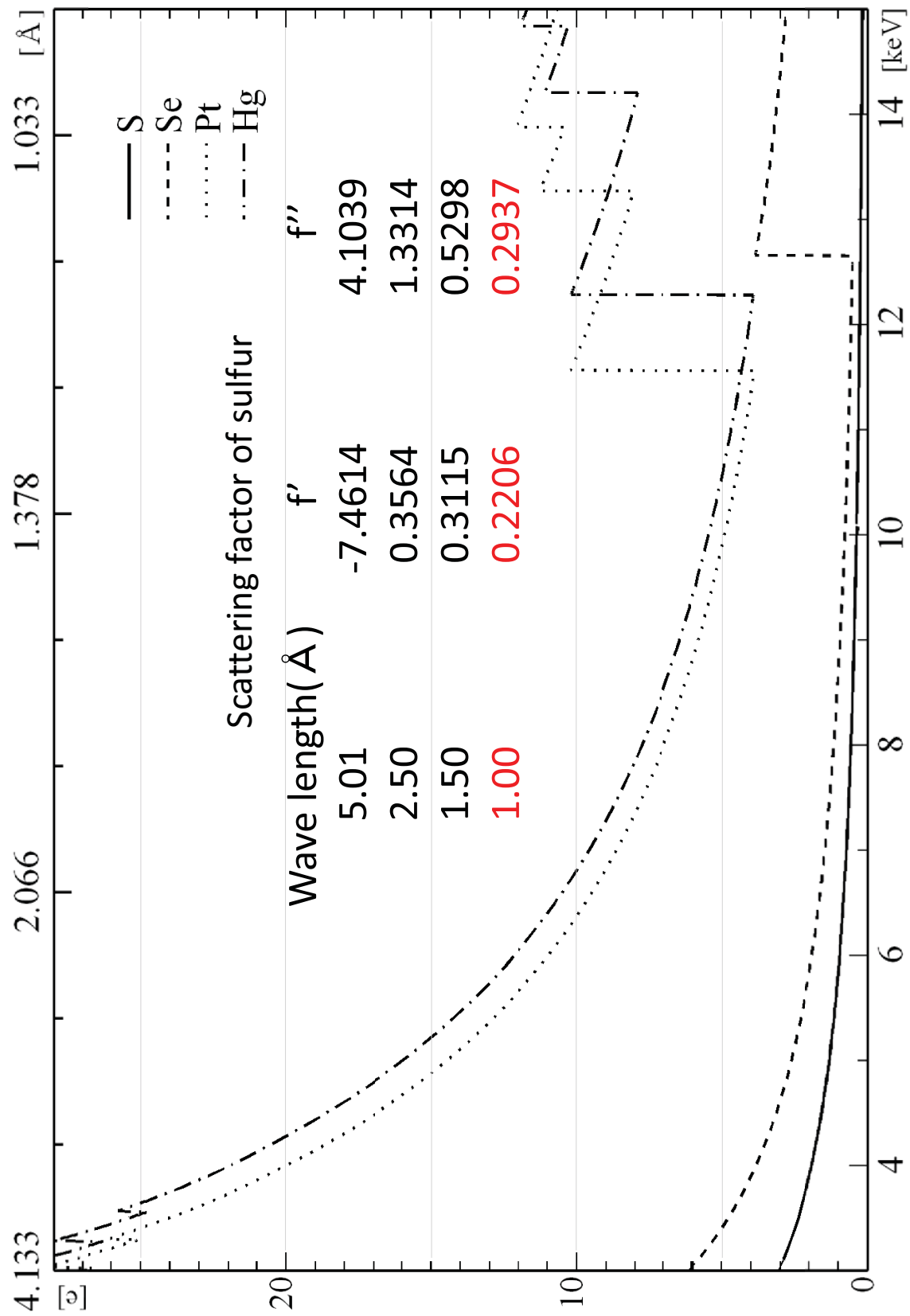


# 微小角振動による高精度データ収集例

- Space group  $P2_12_12_1$
- Unit cell parameters (Å)  $a = 42.3, b = 43.0, c = 257.0$
- Crystal size  $50 \times 50 \times 50 \mu\text{m}^3$
- Wave length  $1.0 \text{\AA}$
- Oscillation range  $180 \text{ deg.}$
- Oscillation angle  $0.2 \text{ deg.}$  → 微小振動角での測定が可能
- Exposure time  $2.0 \text{ sec}$
- Camera distance  $130 \text{ mm}$
- Measurement time  $61 \text{ min}$



# 重原子の異常散乱効果 $f''$

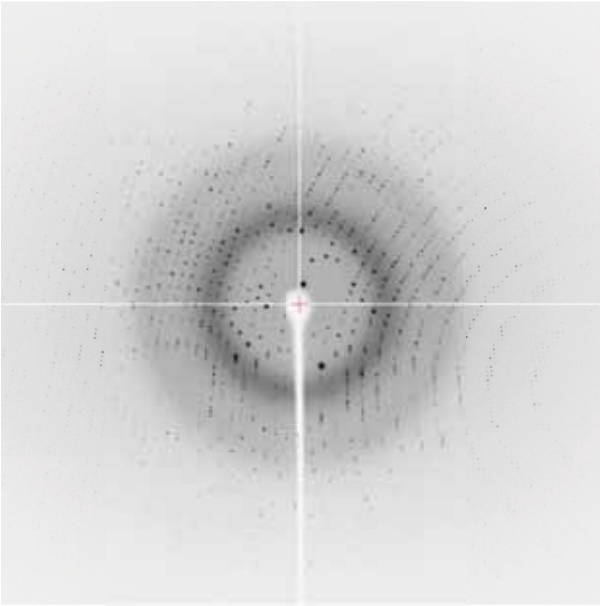


# より短波長でのS-SAD法による解析例



Lysozyme (hen egg white)

高精度でのデータ測定が可能



- Space group  $P4_32_12$
- Unit cell parameters (Å)  $a = b = 78.876, c = 36.927$

• Crystal size  $200 \times 180 \times 100 \mu\text{m}^3$

**1.0 Å**

360 deg.

1.0 deg.

2.0 sec

90 mm

22 min

• Intensity integration

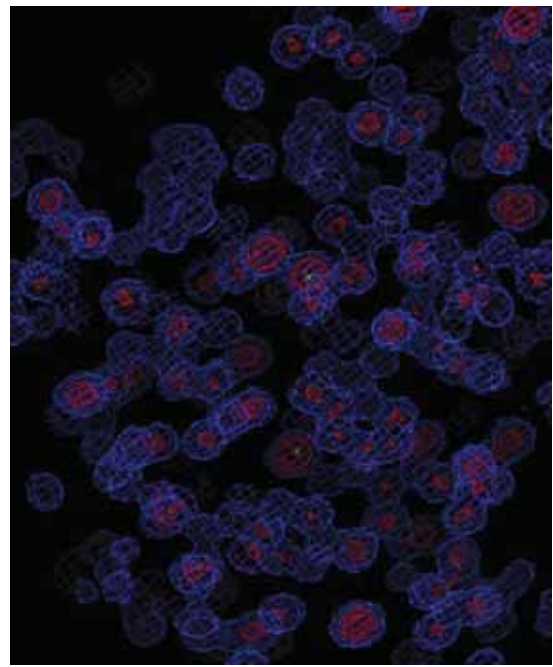
& Data scaling

HKL2000  
(DENZO + SCALEPACK)

SHELX C/D/E

• Heavy Atom Search  
& Density modification

• Model Building ARP/wARP



# 低分子利用

# 有機低分子結晶とタンパク質結晶の回折強度

$$I \propto \frac{V_x}{V^2} \cdot n$$

$V_x$ :結晶の体積、 $V$ :単位格子の体積、 $n$ :原子数/単位格子

## Cytidine

分子式: C9 H13 N3 O5

Space group  $P2_12_12_1$

$a=14.0, b=14.8, c=5.1$

$Z = 4$

$$\begin{aligned} I &= 14.5^3 \times (30 \times 4) / (14 \times 14.8 \times 5.1)^2 \\ &= 0.3 \end{aligned}$$

## Lysozyme

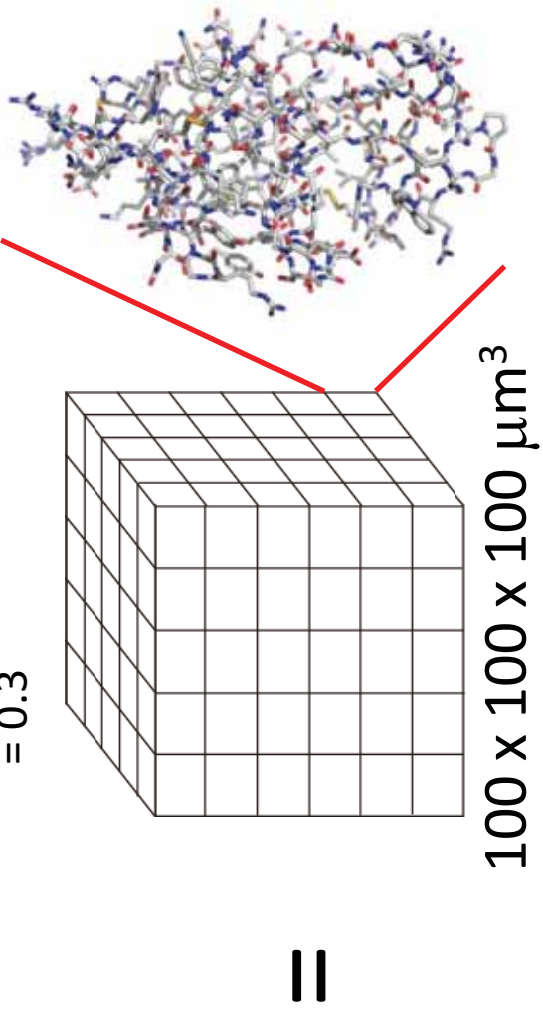
分子式: C616 H963 N193 O182 S10

Space group  $P4_32_12$

$a=78.9, b=78.9, c=36.9$

$Z = 8$

$$\begin{aligned} I &= 100^3 \times (1964 \times 8) / (78.9 \times 78.9 \times 36.9)^2 \\ &= 0.3 \end{aligned}$$



$$14.5 \times 14.5 \times 14.5 \mu\text{m}^3$$

1/3000の体積

# 測定のポイント

CCD検出器のダイナミックレンジを有効に利用した測定

- ・適切なビームサイズを使用する
- ・直接法で解析を行う場合、高角のS/N比を重視（低角の回折点の飽和よりも）
- ・低角の情報が必要であれば、低角用のデータを再度測定
- ・解析に使用する高角側の分解能は統計値を基に判断

キャビラリーに封入して室温で測定

- ・溶媒を含んだ結晶の場合、低温測定が困難な場合がある

# まとめ

- 結晶セントラリシングや実験条件設定、実験スケジュールの管理機能などを一端末に統合し、制御しているため、ユーザーは測定に専念できる
- SPACEを用いたメールライン測定システムを利用することで効率的に連続データ測定が可能
- 測定代行(有償)を1回／月実施
- 格子が $200\text{ \AA}$ 超の結晶でも測定
- 高難易度な有機低分子が、測定可能であったこ